

# СТРУКТУРНЫЙ АНАЛИЗ КОНФОРМАЦИОННОЙ СТАБИЛЬНОСТИ МОЛЕКУЛЫ СЕКРЕТИНА

Г.А. АГАЕВА

*Бакинский Государственный Университет им. М.Э. Расулзаде  
370145, Баку, ул. З.Халилова, 23*

Методом теоретических энергетических расчетов исследованы конформационные особенности четырех монозамещенных аналогов пептидного гормона секрецина, в которых аминокислотные остатки аргининов Arg<sup>12</sup>, Arg<sup>14</sup>, Arg<sup>18</sup> и Arg<sup>21</sup> постепенно заменены на остаток метионина Met. Обсуждается взаимосвязь между структурными изменениями и нарушением конформационной стабильности молекулы секрецина при монозамещениях остатков аргинина. На основании данных конформационного анализа было показано, что остатки Arg<sup>12</sup> и Arg<sup>18</sup> являются необходимыми для обеспечения стабильности предпочтительной пространственной структуры молекулы секрецина.

## ВВЕДЕНИЕ

Секрецин - линейный пептидный гормон, имеет аминокислотную последовательность, состоящую из 27 аминокислотных остатков, следующего вида: H-His<sup>1</sup>-Ser<sup>2</sup>-Asp<sup>3</sup>-Gly<sup>4</sup>-Thr<sup>5</sup>-Phe<sup>6</sup>--Thr<sup>7</sup>-Ser<sup>8</sup>-Glu<sup>9</sup>-Leu<sup>10</sup>-Ser<sup>11</sup>-Arg<sup>12</sup>-Leu<sup>13</sup>-Arg<sup>14</sup>-Asp<sup>15</sup>-Ser<sup>16</sup>-Ala<sup>17</sup>-Arg<sup>18</sup>-Leu<sup>19</sup>-Gln<sup>20</sup>-Arg<sup>21</sup>-Leu<sup>22</sup>-Leu<sup>23</sup>-Gln<sup>24</sup>-Gly<sup>25</sup>-Leu<sup>26</sup>-Val<sup>27</sup>-NH<sub>2</sub>.

Биохимические и клинические исследования показали, что секрецин помимо своего основного биологического действия, стимуляции сока поджелудочной железы, выполняет целый ряд функций, как в пищеварительной системе, так и в центральной нервной системе [1-3], реализация которых становится возможной благодаря конформационным особенностям его пространственной организации. Изучение молекулярных основ биологической активности пептидных соединений требует знания не только их пространственного строения, но также их способностей к конформационным изменениям. Исследование конформации синтезированного секрецина, его отдельных фрагментов и аналогов различными экспериментальными спектральными методами показали, что эта молекула в различных водных растворах не имеет четко фиксированной трехмерной структуры, а обладает набором равновероятных конформеров с предпочтительными элементами вторичной структуры. Детальная информация о пространственной организации секрецина была получена нами методами теоретического конформационного анализа и кругового диахроизма (КД) [4-6]. Двумя методами была изучена пространственная структура секрецина и его укороченных, как N-конца, так и C-конца, фрагментов в различных растворителях (вода, липидный растворитель, додецилсульфат натрия). Полученные двумя методами результаты были сопоставлены друг с другом. Сопоставление теоретических расчетов с экспериментальными данными позволили поэтапно проанализировать результаты теории. Теоретическое исследование секрецина показало, что пространственное строение этого гормона в условиях полярной среды представляет собой два семейства конформаций (A и B). В обоих семействах конформаций имеются вариабельные N- и C-концевые фрагменты, состоящие из шести и пяти остатков соответственно. Эти фрагменты разделены конформационно жестким участком последовательности Thr<sup>7</sup>-Leu<sup>22</sup>, который может находиться в одной из двух, практически изоэнергетических, пространственных форм. Одна форма

(A) представляет собой два α-спиральных участка, соединенных нерегулярной цепью фрагмента Arg<sup>12</sup>-Asp<sup>15</sup>, реализуемой двумя различными формами основной цепи: BRBB и BBLB и образующей поворот цепи. Вторая форма (B) содержит около пяти витков α-спирали. Для экспериментальной проверки результатов теоретического конформационного анализа были проанализированы спектры КД секрецина, приведенные в работах [7,8], с помощью детально разработанной методики [9]. Анализ спектров КД секрецина показал, что оба теоретически предсказанных семейства конформаций молекулы реальны и предпочтительны в зависимости от природы растворителя.

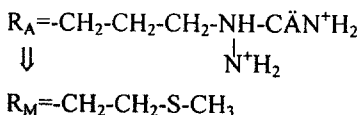
Конформационный анализ секрецина показал, что во всех его энергетически предпочтительных структурах осуществляются эффективные специфические межстоечные взаимодействия, которые, по всей вероятности, являются ответственными за сохранение той или иной формы пептидного остова молекулы. Секрецин - линейная молекула, не имеет дисульфидных связей, но содержит в аминокислотной последовательности четыре положительно заряженных остатка аргинина Arg<sup>12</sup>, Arg<sup>14</sup>, Arg<sup>18</sup> и Arg<sup>21</sup>, которые в низкоэнергетических конформациях молекулы создают эффективные специфические межстоечные взаимодействия с противоположно заряженными остатками, сопровождаемые образованием водородных связей или солевых мостиков. Поэтому представляет определенный научный интерес выяснение структурообразующей роли каждого из четырех остатков аргинина в молекуле секрецина.

В настоящей работе с целью определения роли остатков аргинина в пространственной укладке молекулы секрецина была исследована конформационная стабильность монозамещенных аналогов этого гормона, в которых остатки аргинина заменены на остаток метионина. Для этого был проведен конформационный анализ четырех аналогов секрецина [Met<sup>12</sup>]-S, [Met<sup>14</sup>]-S, [Met<sup>18</sup>]-S и [Met<sup>21</sup>]-S в поле десяти его низкоэнергетических конформационных состояний из двух семейств A и B.

## МЕТОД РАСЧЕТА.

Исследование конформационных особенностей четырех структурных аналогов секрецина проводилось методом теоретического конформационного анализа с использованием стандартной геометрии. В аминокислотной последовательности секрецина вместо положительно заря-

женного бокового радикала  $R_A$  остатка Arg был введен слабополярный боковой радикал  $R_M$  остатка Met:



При конформационном расчете аналогов учитывали невалентные и электростатические взаимодействия, водородные связи и торсионные потенциалы. Невалентные взаимодействия оценивали по потенциальному Леннарда-Джонса с параметрами Скотта и Шераги [10]. Электростатическую энергию рассчитывали в монопольном приближении по закону Кулона с использованием зарядов, предложенных в работе [11]. Параметризация потенциальных функций была аппроксимирована к условиям полярной среды: величина диэлектрической проницаемости принята равной 10 [12], а водородные связи оценивались по потенциальному Морзе [13]. Боковые радикалы заряженных остатков применительно к условиям полярной среды были взяты в ионизированной форме. Торсионные потенциалы и величины барьеров взяты из работы [14].

При обсуждении результатов расчета были использованы понятия "форма" и "шэйп" пептидной цепи [15]. Под формой основной цепи молекулы подразумевается последовательность форм остатков, определяемых низкоэнергетическими областями  $R$  ( $\varphi = -180^\circ - 0^\circ, \psi = -180^\circ - 0^\circ$ ),  $B$  ( $\varphi = -180^\circ - 0^\circ, \psi = 0^\circ - 180^\circ$ ),  $L$  ( $\varphi \neq 0^\circ - 180^\circ, \psi = 0^\circ - 180^\circ$ ) и  $P$  ( $\varphi = 0^\circ - 180^\circ, \psi = -180^\circ - 0^\circ$ ) на конформационной карте по двугранным углам основной цепи  $\varphi - \psi$ . Разнообразные формы, в свою очередь, распределены по шэйпам пептидного остова, определяющим направленность хода основной цепи. В случае фрагмента из двух аминокислотных остатков все формы основной цепи могут быть сгруппированы в два класса – шэйпы  $e$  и  $f$ . Символом  $e$  обозначаются формы с развернутой основной цепью ( $BB, BR, RL, PR, LR, PL, LB$  и  $PP$ ), а  $f$  – со свернутой ( $RR, RB, BL, BP, PB, LL, LP$  и  $PP$ ). В качестве начальных приближений при расчете конформаций молекул послужили известные значения двугранных углов, соответствующих низкоэнергетическим состояниям монопеп-

тидов. Отсчет двугранных углов проводился согласно общепринятой номенклатуре [16]. В расчетах были использованы программа и техника расчета [17], разработанные и примененные авторами в работах [4-6].

## РЕЗУЛЬТАТЫ И ОБСУЖДЕНИЕ

На всех стадиях расчета как при анализе аминокислотной последовательности самой молекулы секрецина, так и ее структурных аналогов, мы руководствовались исключительно энергией внутримолекулярных взаимодействий валентно несвязанных атомов. Варьируя каждый раз двугранные углы боковых цепей внедряемых остатков метионина в поле низкоэнергетического конформационного состояния секрецина, мы стремились подобрать такие их положения, в которых реализовалось бы максимальное число взаимосогласованных друг с другом контактов между боковыми цепями, элементами основной цепи и не нарушались бы уже сформированные эффективные взаимодействия окружающих остатков.

Теоретический конформационный анализ молекулы секрецина показал, что энергетически предпочтительные конформации этой молекулы стабилизируются, главным образом, благодаря дисперсионным взаимодействиям электростатического характера, т.е. межостаточным взаимодействиям между противоположно заряженными остатками. В табл.1 приведены формы пептидной цепи наиболее низкоэнергетических конформаций секрецина, принадлежащих двум семействам (A и B), и их относительные энергии. В конформациях семейства B, включающих  $\alpha$ -спиральные сегменты в пределах от 7 до 22 аминокислотного остатка последовательности ( $f_{17}$ ), наиболее эффективными являются три-, тетра- и пентапептидные взаимодействия, суммарные энергетические вклады которых соответственно составляют: -30.2; -64.8 и -30.7 ккал/моль. Образование эффективных тетрапептидных взаимодействий способствует то обстоятельство, что в них участвуют остатки с противоположно заряженными боковыми цепями, например Glu<sup>9</sup> и Arg<sup>12</sup>, Arg<sup>12</sup> и Asp<sup>15</sup>, Asp<sup>15</sup> и Arg<sup>18</sup>, дисперсионные взаимодействия между которыми дополняются электростатическими взаимодействиями.

Таблица 1. Низкоэнергетические конформации молекулы секрецина.

N Конформация (шэйп)	ФОРМА ПЕПТИДНОЙ ЦЕПИ						$E_{\text{отн.}}$ (ккал/моль)
	1	6-7	12	15	22-23	27	
I. A <sup>1</sup> ( $f_6eфе_2f_7$ )	R <sup>1</sup> RRPBR <sup>6</sup>	R'RRRRB <sup>12</sup> RBB <sup>15</sup> RRRBRBRR <sup>22</sup>	B <sup>23</sup> RBRR <sup>27</sup>				0.0
II. A <sup>2</sup> ( $f_6eфе_2f_7$ )	R <sup>1</sup> RRPBR <sup>6</sup>	R'RRRRB <sup>12</sup> RBB <sup>15</sup> RRRRRRR <sup>22</sup>	R <sup>23</sup> RRRR <sup>27</sup>				1.2
III. A <sup>3</sup> ( $f_6eфе_2f_7$ )	R <sup>1</sup> RRBBR <sup>6</sup>	R'RRRRB <sup>12</sup> RBB <sup>15</sup> RRRBRBRR <sup>22</sup>	B <sup>23</sup> RBRR <sup>27</sup>				4.4
IV. A <sup>4</sup> ( $f_6eфе_2f_7$ )	R <sup>1</sup> RRBBR <sup>6</sup>	R'RRRRB <sup>12</sup> RBB <sup>15</sup> RRRRRRR <sup>22</sup>	R <sup>23</sup> RRRR <sup>27</sup>				6.1
V. A <sup>5</sup> ( $f_6eфе_2f_7$ )	R <sup>1</sup> RRPBR <sup>6</sup>	R'RRRRB <sup>12</sup> BLB <sup>15</sup> RRRRRRR <sup>22</sup>	R <sup>23</sup> RRRR <sup>27</sup>				3.5
VI. A <sup>6</sup> ( $f_6eфе_2f_7$ )	R <sup>1</sup> RRPBR <sup>6</sup>	R'RRRRB <sup>12</sup> BLB <sup>15</sup> RRRBRBRR <sup>22</sup>	B <sup>23</sup> RBRR <sup>27</sup>				8.5
VII. B <sup>1</sup> ( $f_{17}$ )	R <sup>1</sup> RRPBR <sup>6</sup>	R'RRRRR <sup>12</sup> RRR <sup>15</sup> RRRRRRR <sup>22</sup>	R <sup>23</sup> RRRR <sup>27</sup>				1.7
VIII. B <sup>2</sup> ( $f_{17}$ )	R <sup>1</sup> RRPBR <sup>6</sup>	R'RRRRR <sup>12</sup> RRR <sup>15</sup> RRRBRBRR <sup>22</sup>	B <sup>23</sup> RBRR <sup>27</sup>				5.6
IX. B <sup>3</sup> ( $f_{17}$ )	R <sup>1</sup> RRBBR <sup>6</sup>	R'RRRRR <sup>12</sup> RRR <sup>15</sup> RRRRRRR <sup>22</sup>	R <sup>23</sup> RRRR <sup>27</sup>				1.7
X. B <sup>4</sup> ( $f_{17}$ )	R <sup>1</sup> RRBBR <sup>6</sup>	R'RRRRR <sup>12</sup> RRR <sup>15</sup> RRRBRBRR <sup>22</sup>	B <sup>23</sup> RBRR <sup>27</sup>				6.2

Конформации семейства A, обладающие двумя небольшими  $\alpha$ -спиральными сегментами, соединенными

поворотом цепи на участке 12-15 ( $f_6eфе_2f_7$ ), также характеризуются образованием три-, тетра- и пентапепти-

## СТРУКТУРНЫЙ АНАЛИЗ КОНФОРМАЦИОННОЙ СТАБИЛЬНОСТИ МОЛЕКУЛЫ СЕКРЕТИНА

ных взаимодействий, суммарные вклады которых составляют -25.5, -58.5 и -17.3 ккал/моль, соответственно. Но благодаря повороту пептидной цепи в этих конформациях реализуются эффективные декалептидные взаимодействия между остатками Asp<sup>3</sup> и Arg<sup>12</sup> (-9.1 ккал/моль) и Glu<sup>9</sup> и Arg<sup>18</sup> (-10.1 ккал/моль). Этот поворот цепи стабилизируется несколькими водородными связями, образованными между остатками Arg<sup>12</sup> и Asp<sup>15</sup> и Glu<sup>9</sup> и Arg<sup>18</sup> (табл.2). Поэтому переход между практически эквивалентными по энергии конформациями двух семейств имеет строго кооперативный характер, поскольку этот процесс затрагивает геометрию фрагмента Arg<sup>12</sup>-Asp<sup>15</sup>, содержащего три остатка с заряженными боковыми цепями. Остатки аргинина, благодаря наличию у них в боковой цепи положительно заряженной гуанидиновой группы, наряду с дисперсионными взаимодействиями легко образуют эффективные электростатические взаи-

модействия с удаленными по цепи противоположно заряженными остатками. Некоторые такие взаимодействия сопровождаются образованием водородных связей. Тогда как в метионине его боковой радикал может образовывать только эффективные дисперсионные межостаточные взаимодействия и не способен образовывать водородную связь. В табл. 3 приведены энергетические параметры трех низкоэнергетических конформаций молекулы секрецина и 4 его монозамещенных аналогов, в которых Arg замещен на Met. Как видно из таблицы 3, введение остатка Met вместо любого из четырех остатков Arg приводит к заметной энергетической дестабилизации низкоэнергетических конформаций секрецина. Однако эти замены по-разному влияют на относительную стабильность конформаций, что позволяет оценивать роль каждого из остатков Arg в механизме укладки пространственной структуры пептида.

Таблица 2. Параметры водородных связей, образованных остатками аргининов, в двух низкоэнергетических конформациях секрецина семейства А и Б.

Конформация	Водородная связь	Длина (Å)	Энергия (ккал/моль)
I (А)	Arg <sup>12</sup> H <sub>Z12</sub> -N <sub>Z1</sub> -H <sub>Z11</sub> ... O=C Ser <sup>2</sup>	2.3	-0.7
	Arg <sup>12</sup> H <sub>Z21</sub> -N <sub>Z2</sub> -H <sub>Z22</sub> ... O <sub>D1</sub> -C <sub>G</sub> -O <sub>D2</sub> Glu <sup>9</sup>	1.9	-1.4
	Arg <sup>12</sup> H <sub>Z22</sub> -N <sub>Z2</sub> -H <sub>Z21</sub> ... O <sub>D2</sub> -C <sub>G</sub> -O <sub>D1</sub> Glu <sup>9</sup>	1.8	-1.5
	Arg <sup>12</sup> H <sub>Z11</sub> -N <sub>Z1</sub> -H <sub>Z12</sub> ... O <sub>D1</sub> -C <sub>G</sub> -O <sub>D2</sub> Asp <sup>15</sup>	2.2	-0.8
	Arg <sup>12</sup> H <sub>Z12</sub> -N <sub>Z1</sub> -H <sub>Z11</sub> ... O <sub>D2</sub> -C <sub>G</sub> -O <sub>D1</sub> Asp <sup>15</sup>	2.3	-0.7
	Arg <sup>18</sup> H <sub>Z12</sub> -N <sub>Z1</sub> -H <sub>Z11</sub> ... O <sub>D2</sub> -C <sub>G</sub> -O <sub>D1</sub> Glu <sup>9</sup>	2.2	-0.8
	Arg <sup>18</sup> H <sub>Z21</sub> -N <sub>Z2</sub> -H <sub>Z22</sub> ... O=C Leu <sup>13</sup>	2.3	-0.7
	Arg <sup>18</sup> N-H ... O <sub>D1</sub> -C <sub>G</sub> -O <sub>D2</sub> Asp <sup>15</sup>	1.9	-1.5
VII(Б)	Arg <sup>12</sup> H <sub>Z11</sub> -N <sub>Z1</sub> -H <sub>Z12</sub> ... O <sub>D1</sub> -C <sub>G</sub> -O <sub>D2</sub> Glu <sup>9</sup>	2.1	-1.0
	Arg <sup>12</sup> H <sub>Z12</sub> -N <sub>Z1</sub> -H <sub>Z11</sub> ... O <sub>D2</sub> -C <sub>G</sub> -O <sub>D1</sub> Glu <sup>9</sup>	1.9	-1.4
	Arg <sup>12</sup> H <sub>Z21</sub> -N <sub>Z2</sub> -H <sub>Z22</sub> ... O <sub>D1</sub> -C <sub>G</sub> -O <sub>D2</sub> Asp <sup>15</sup>	2.4	-0.5
	Arg <sup>18</sup> H <sub>Z11</sub> -N <sub>Z1</sub> -H <sub>Z12</sub> ... O <sub>D2</sub> -C <sub>G</sub> -O <sub>D1</sub> Asp <sup>15</sup>	2.0	-1.1

Примечание: Z11,Z12, D1,D2 - обозначение атомов гуанидиновой и карбоксильной групп остатков.

Таблица 3. Энергетические параметры конформаций секрецина и его метионин-монозамещенных аналогов.

Молекула, аналоги	N Конформация	Энергетические вклады (ккал/моль)				
		E <sub>НЕВ.</sub>	E <sub>ЭЛС</sub>	E <sub>ТОР.</sub>	E <sub>общ.</sub>	E <sub>отн</sub>
Секрецин (S)	I	-188.9	10.1	19.1	-159.8	0.0
	V	-185.3	9.1	19.9	-156.3	3.5
	VII	-188.9	9.5	21.3	-158.1	1.7
[MET12]-S	I	-162.4	17.9	20.3	-124.2	35.8
	V	-164.0	15.8	21.6	-126.6	33.2
	VII	-182.5	20.8	22.6	-139.1	20.7
[MET14]-S	I	-187.5	9.6	20.3	-157.5	2.3
	V	-182.8	7.0	21.6	-154.2	5.6
	VII	-180.1	11.4	24.0	-144.7	15.1
[MET18]-S	I	-152.6	13.4	19.3	-120.0	39.8
	V	-143.4	10.8	21.4	-111.2	48.6
	VII	-181.5	12.8	24.1	-144.7	15.1
[MET21]-S	I	-187.5	9.9	20.1	-157.5	2.3
	V	-178.8	9.8	21.6	-147.4	12.4
	VII	-185.6	10.9	24.3	-150.5	9.3

Конформационный анализ аналога [Met<sup>12</sup>]-S показал, что замена Arg<sup>12</sup> на слабополярный остаток метионина существенно дестабилизирует энергетически предпочтительные конформации секрецина. Особенно большая потеря энергии происходит в конформациях семейства А. Межостаточные взаимодействия, образуемые остатком

Met<sup>12</sup>, являются дисперсионными и не вносят электростатический вклад энергии. Во всех конформациях аналога [Met<sup>12</sup>] утеряны водородные связи, образуемые остатком Arg<sup>12</sup> (таблица 2). В связи с заменой Arg<sup>12</sup> на Met были ослаблены все специфические межостаточные взаимодействия, образуемые аргинином с противоположно

заряженными остатками, энергетический вклад которых в конформациях I и VII соответственно составлял -32.4 и -26.0 ккал/моль. Исследование конформационной стабильности аналога [Met<sup>12</sup>] показало, что остаток Arg<sup>12</sup> играет одну из ключевых ролей в стабилизации низкоэнергетических конформаций секретина.

Замена остатка Arg<sup>14</sup> на Met оказывает наименьший дестабилизирующий эффект в стабильных конформациях секретина. Это объясняется тем, что остаток Arg<sup>14</sup> не образовывает эффективных межостаточных взаимодействий и водородных связей в низкоэнергетических конформациях секретина. Так например, в конформациях I и VII энергетический вклад межостаточных взаимодействий Arg<sup>14</sup> составлял -5.2 и -14.0 ккал/моль соответственно. В этих конформациях боковая цепь остатка Arg<sup>14</sup> расположена в самом выгодном положении для взаимодействия с полярным водным окружением.

Самый значительный дестабилизирующий эффект на низкоэнергетические конформации секретина оказало монозамещение остатка Arg<sup>18</sup> на метионин (таблица 3). В связи с этой заменой были ослаблены именно те межостаточные взаимодействия, которые стабилизировали поворот цепи в конформациях семейства A, а также была утеряна водородная связь, образованная между атомами остатков Glu<sup>9</sup> и Arg<sup>18</sup>, которая фиксировала этот поворот цепи в этих конформациях. Расчет показал, что замена остатка Arg<sup>18</sup> на Met существенно разрыхляет энергетически предпочтительные пространственные структуры секретина, ослабляя необходимые для их стабильности специфические взаимодействия, энергетический вклад которых в конформации I составлял -27.7 ккал/моль.

В структурном аналоге [Met<sup>21</sup>]-S монозамещение аргинина также как и в аналоге [Met<sup>14</sup>]-S не вызывает существенную энергетическую дестабилизацию. По всей видимости, введение метионина вместо Arg<sup>21</sup> в поле стабильных конформаций секретина не приводит к потере

того или иного специфического взаимодействия или метионин образует новые энергетически эквивалентные взаимодействия. Другими словами монозамещение остатка Arg<sup>21</sup> на метионин является в какой-то мере самодостаточной заменой. Это подтверждается также величинами энергетического вклада остатка Arg<sup>21</sup> в двух конформациях I и VII секретина, которые составляют соответственно -9.4 и -11.2 ккал/моль. Энергетические вклады межостаточных взаимодействий остатка метионина по всей видимости по величине способны компенсировать утерянные вклады остатка Arg<sup>21</sup>. Поскольку остаток Arg<sup>21</sup> не участвует в образовании специфических межостаточных взаимодействий и внутримолекулярных водородных связей, то можно предположить, что этот остаток или область его ближайшего окружения существенны для взаимодействия со средой или с рецептором. Это подтверждается экспериментальными данными недавней работы [18], в которой показано, что именно C-концевой участок секретина непосредственно связывается с рецептором.

Проведенное исследование конформационного поведения четырех монозамещенных аналогов секретина [Met<sup>12</sup>], [Met<sup>14</sup>], [Met<sup>18</sup>] и [Met<sup>21</sup>] определило, что все замещения заряженных остатков аргинина в той или иной степени приводят к дестабилизации его пространственных форм. Результаты показали, что для наиболее стабильных расчетных конформаций секретина характерно взаимодействие боковых противоположно заряженных остатков, пространственная сближенность которых сопровождается образованием водородных связей. Как показали расчеты, роль остатков Arg<sup>12</sup> и Arg<sup>18</sup> является наиболее важной в образовании эффективных специфических межостаточных взаимодействий, необходимых для поддержания конформационной стабильности пространственной формы секретина. Роль остатков Arg<sup>14</sup> и Arg<sup>21</sup>, по всей видимости, заключается в стабилизации водной оболочки вокруг молекулы секретина.

- [1] J.E.Jorpes Gastroenterology, 1968, v.55,p.157-162.
- [2] J.I.Isenberg et.al.Gastroenterology,1972,v.62,p.626-634.
- [3] M. Bodanszky, M.L. Fink, G. Boden. Gastroenterology, 1977, v.72,p.801-811.
- [4] Г.А. Агаева, Н.А. Ахмедов, Е.М. Попов Молек. биол., 1987, 21, с.164-173.
- [5] Н.А. Ахмедов, Г.А. Агаева, Е.М. Попов. Молек.биол., 1987, 21,с. 174-184.
- [6] Г.А. Агаева, И.Б. Болотина, В.О. Чехов Биофизика, 1989, т. XXXIV, вып.1, с.14-17.
- [7] M.L. Fink, M. Bodanszky J.Amer.Chem.Soc., 1976, v. 98(4), p.974-981.
- [8] R.M.Robinson,E.W.J.Blaikeney,W.Mattice. Biopolymers, 1982, v.21,p.1217-1224.
- [9] И.А.Болотина, В.Ю.Лугаускас. Молек.биол., 1985, т. 19, с.1409-1420.
- [10] R.A. Scott, H.A. Scheraga. J. Chem. Phys., 1966, v.45, p. 2091-2096.
- [11] F.A. Momany, McGuire, A.W.Burgess, H.A Scheraga,, J.Phys.Chem., 1975, v.79, p.2361-2376.
- [12] Г.М.Липкинд., С.Ф.Архипова , Е.М. Попов. Молек. биол., 1970, т.4, с.331-339.
- [13] H.A Scheraga. Adv. Phys. Org. Chem., 1968, v.61, p.103-110.
- [14] Е.М.Попов,В.Г. Дащевский, Г.М. Липкинд, С.Ф.Архипова Молек.биол.,1968,Т.2, С.612-618.
- [15] E.M.Popov. Int. J.Quant.Chem.,1979, v.16, p.707-718.
- [16] IUPAC-IUB Commission on Biochemical Nomenclature, Biochim. Biophys.Acta, 1971,v.121, p.121.
- [17] Н.М. Годжаев, И.С. Максумов, Л.И .Исмаилова. Ж. Структ. хим.,1983, ,24,с.147-152.
- [18] P.Gourlet Peptides, 1996, v.6,p.188-196.

Q.Ә. Ағайева

## SEKRETİN MOLEKULUN KONFORMASIYA STABİLLİYİNİN STRÜKTUR ANALİZİ

Sekretin molekulun aminturşu ardiçiliğında arqinin qalıqlarının metionin qalığı ile əvəz olunmuş bir sıra struktur analoqlarının konformasiya xüsusiyyətləri nəzəri enerji hesablamaları əsasında tədqiq olunmuşdur. Sekretin molekulun modifikasiyası ilə onun konformasiya stabilliyinin dəyişməsi arasındaki əlaqələr müzakirə olunmuşdur. Göstərilmişdir ki, Arg<sup>12</sup> və Arg<sup>18</sup> amin turşu qalıqları sekretin molekulun konformasiya stabilliyində mühüm rol oynayırlar.

# СТРУКТУРНЫЙ АНАЛИЗ КОНФОРМАЦИОННОЙ СТАБИЛЬНОСТИ МОЛЕКУЛЫ СЕКРЕТИНА

G.A. Agayeva

## **STRUCTURAL ANALYSIS OF SECRETIN CONFORMATIONAL STABILITY.**

The conformational behavior of series of secretin monosubstituted analogs, in which arginine amino acids was replaced by metionine residues, have been investigated by theoretical computations of energy. The relationships between amino acid monosubstitutions and change of secretin conformational stability were discussed. On the basis of conformational analysis of secretin monosubstituted analogs it is shown that only Arg<sup>12</sup> and Arg<sup>18</sup> residues play a significant role in the secretin conformational stability.

*Дата поступления: 01.02.00*

*Редактор: М.К. Керимов*